

2022.5.23

理論談話会 #9

10:00-11:00 @セミナーB

A decomposition method for estimating recursive logit based route choice models

Mai, Tien, Fabian Bastin, and Emma Frejinger.

EURO Journal on Transportation and Logistics 7.3 (2018): 253-275.

M1 増橋 佳菜

0. Abstract

経路選択モデルの課題

課題 0 経路の選択肢集合が不明

課題 1 経路同士の相関

解決策 0

再帰的な定式化 (マルコフ連鎖による記述)
→ 選択肢集合を列挙しない

Recursive Logit Model (Fosgerau; 2013)

課題 1 経路同士の相関を考慮できない (LS 以外に IIA 特性が残る) ※ 不十分 !!!

課題 2 多数の大規模な連立方程式を解く必要性 → 計算時間コストが高い
→ 大規模 NW ・ 複雑なモデル に適用困難

課題 1 → 解決策 1

複雑なモデル

Mixed RLモデル の採用 → IIA 特性が緩和

理論的に可能

課題 2 → 解決策 2

Decomposition method (DeC method) を提案 → 超高速化

(RLモデルで実証)

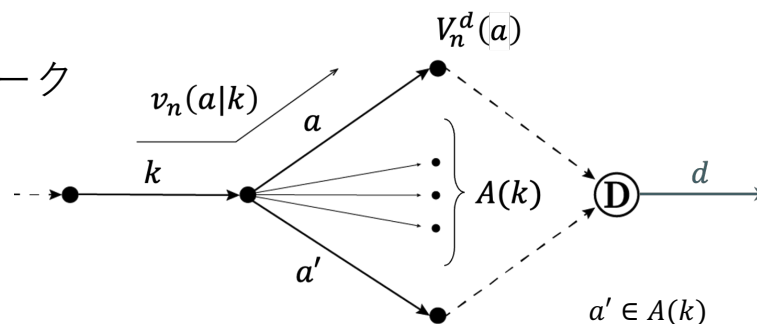
+α Mixed RL モデルへの適用

実際に可能

2. Recursive Logit Model

- ネットワークの定義

- $G = (A, \nu)$: 有向リンクで結ばれたネットワーク
- A : リンク集合、 ν : ノードの集合



- 効用関数

- 即時効用 $u_n(a|k) = v_n(a|k) + \mu \varepsilon_n(a)$
- 期待効用 $V_n^d(a)$

- 価値関数 $V_n^d(k)$ - Bellman方程式の形

- $V_n^d(k; \beta) = E \left[\max_{a \in A(k)} (v_n(a|k; \beta) + V_n^d(a; \beta) + \mu \varepsilon_n(a; \beta)) \right] \quad \forall k \in A$

※ 以下、個人 n の表記を省略

- 選択確率 $P^d(a|k)$

$$P^d(a|k) = \frac{\delta(a|k) \exp\left(\frac{1}{\mu} (v(a|k) + V^d(a))\right)}{\sum_{a' \in A(k)} \exp\left(\frac{1}{\mu} (v(a'|k) + V^d(a'))\right)}$$

接続行列

※ 導出過程は参考資料 [6]pp.16参照

全ての可能な経路に対して各ノードでMNL型の選択を行う

2. Recursive Logit Model

IIA特性 (Independence from Irrelevant Alternatives)

2つの選択肢を考えると「その2つの選択肢の確定項のみの影響を受け、
選択肢集合に含まれる他の選択肢の影響を受けない」性質。
無関係な選択肢からの選択確率の独立性を保証している。

- 経路 $\sigma = \{k_i\}_{i=0}^I = \{k_0, k_1, \dots, k_I\}$ について
発生 吸収
= d
- 経路 σ の選択確率 = 経路 σ が観測されたときの尤度 $P(\sigma)$

$$\begin{aligned} P(\sigma) &= \prod_{i=0}^{I-1} P(k_{i+1}|k_i) \\ &= \prod_{i=0}^{I-1} \frac{\exp\left(\frac{1}{\mu} (v(k_{i+1}|k_i) + V^d(k_{i+1}))\right)}{\sum_{a \in A(k_i)} \exp\left(\frac{1}{\mu} (v(a|k_i) + V^d(a))\right)} = e^{\frac{1}{\mu} v^d(k)} \\ &= \prod_{i=0}^{I-1} \exp\left(\frac{1}{\mu} (v(k_{i+1}|k_i) + V^d(k_{i+1}) - V^d(k_i))\right) \\ &= \exp\left(-\frac{1}{\mu} V^d(k_0)\right) \prod_{i=0}^{I-1} \exp\left(\frac{1}{\mu} v(k_{i+1}|k_i)\right) \quad (\because V^d(k_i) = 0) \\ &= \frac{\exp\left(\frac{1}{\mu} v(\sigma)\right)}{\exp\left(\frac{1}{\mu} V^d(k_0)\right)} = \frac{\exp\left(\frac{1}{\mu} v(\sigma)\right)}{\sum_{\sigma' \in \Omega} \exp\left(\frac{1}{\mu} v(\sigma')\right)} \end{aligned}$$

経路 σ の確定項

(Ω : 全経路の集合) 可能な経路の確定項和

RLモデルは
“無限の選択肢を持つMNLモデル”

→ IIA特性を持つ
経路 σ_1 と経路 σ_2 の確率の比は
 $v(\sigma_1) - v(\sigma_2)$ のみに依存

課題 1 経路同士の相関を考慮できない

番外編 LS (リンクサイズ属性) とIIA特性の緩和

● リンクの重複 → **課題 1** 経路同士の相関

● 既往研究

- 共通性係数 (c-logitモデル) (Cascetta et al.;1996)
- PS属性 (PSLモデル) (Ben-Akiva and Bierlaire; 1999)

・与えられた経路 j , j のリンク集合 Γ_j , 選択肢集合 C , リンク a の長さ L_a に対して

$$PS_{jn} = \sum_{a \in \Gamma_j} \frac{L_a}{L_j} \frac{1}{\sum_{i \in C_n} \delta_{ai}} \leftarrow \text{リンク } a \text{ を通る経路数}$$

- ・経路 j がどのリンクとも重複していないと1に、重複度大で0に近づく
- ・経路の効用の補正は $\beta_{PS} \ln PS_{jn}$ で表し、重複が全くない経路で $\beta_{PS} \ln PS_{jn} = 1$

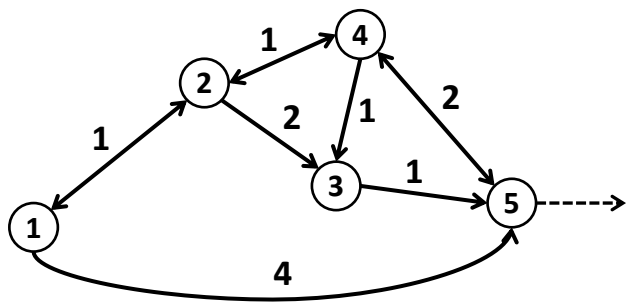
問題 1 : 全経路選択肢の列挙が必要

問題 2 : リンク加法的ではない

→ RLモデルには適用不可能

番外編 LS (リンクサイズ属性) とIIA特性の緩和

● Fosgerauの提案：Link Size (LS)の導入



- ズレ
- 普通MNL → 全て $\frac{1}{4}$ の選択確率
 - 左右に半分くらい分かれて {1,5} に $\frac{1}{2}$ くらい
- ズレを補正するためにリンクの共有を考える

● リンクサイズ属性 (LS)

- 重複量の代理として期待リンクフロー $F(a)$ を使用する
cf. リンク a を通る経路数 @PS属性 (PSLモデル)

- 定義

$$LS^{od} = F^{od}(\tilde{\beta})$$

LS^{od} : あるODに対する $(A \times 1)$ のベクトル (k 番目の要素はリンク k のLS属性)

$\tilde{\beta}$: 効用の計算に使用した説明変数のパラメータ β の推定値は $\hat{\beta}$ とは区別する

$F^{od}(\tilde{\beta})$ は スタートアップゼミ2022 #2 資料のp.39 の $(I - P^d(\tilde{\beta})^T) F^{od}(\tilde{\beta}) = G^o$ から算出

G^o : オリジナルリンクが1、他が0の値を持つ発生フローベクトル

$G^o \mathbf{1} = 1$ より、 F^{od} は正規化されたとも

課題 1 経路同士の相関を考慮できない (LS 以外にIIA特性が残る)

2. Recursive Logit Model

● Bellman方程式を解く

$$V_n^d(k) = E \left[\max_{a \in A(k)} (v_n(a|k) + V_n^d(a) + \mu \varepsilon_n(a)) \right] \quad \forall k \in A$$

※ 以下、個人 n の添字を省略し、 $V_n^d(k) = V^d(k)$ とする

- 対数をとる

$$e^{\frac{1}{\mu} V^d(k)} = \begin{cases} \sum_{a \in A} \delta(a|k) e^{\frac{1}{\mu} (v(a|k) + V^d(a))} & \forall k \in A \\ 1 & k = d \end{cases}$$

- M^d ($|\tilde{A}| \times |\tilde{A}|$)なる接続行列を次のように定義

$$M_{ka} = \delta(a|k) e^{\frac{1}{\mu} v(a|k)} = \begin{cases} e^{\frac{1}{\mu} v(a|k)} & \text{if } a \in A(k) \\ 0 & k = d \end{cases} \quad (\because d \text{はダミーリンクなので後続なし})$$

- b^d ($|\tilde{A}| \times 1$) と z^d ($|\tilde{A}| \times 1$) を定義

$$b_k^d = \begin{cases} 0 & k \neq d \\ 1 & k = d \end{cases} \quad z_k^d = e^{\frac{1}{\mu} v(k)}$$

- 期待効用 z は連立一次方程式 $\boxed{z^d = M^d z^d + b^d}$ の解

目的地 d ごとに1つの線形システム

課題 2 多数の大規模な連立方程式を解く必要性 → 計算時間コストが高い
→ 大規模NW・複雑なモデルに適用困難

スタートアップゼミ2022 #2 参照

3. Decomposition method - DeC method

- D : 観測された目的地の集合($d \in D$)
- $(|\tilde{A}| + 1) \times (|\tilde{A}| + 1)$ の行列 \mathbf{M}^0 と $(|\tilde{A}| + 1) \times (|\tilde{A}| + 1)$ の行列 \mathbf{U}^d と定義

$$M^0_{ka} = \begin{cases} M_{ka} & \text{if } k, a \in A(k) \\ 0 & \text{otherwise} \end{cases} \quad U^d_{ka} = \begin{cases} \delta(d|k)e^{\frac{1}{\mu}v(d|k)} & \text{if } a = d \\ 0 & \text{otherwise} \end{cases}$$

- 全ての d について $\mathbf{M}^d = \mathbf{M}^0 + \mathbf{U}^d$

$$\underbrace{\begin{pmatrix} m_{1,1} & m_{1,2} & \cdots & m_{1,|\mathcal{A}|+1} \\ m_{2,1} & m_{2,2} & \cdots & m_{2,|\mathcal{A}|+1} \\ \vdots & \vdots & \ddots & \vdots \\ 0 & 0 & \cdots & 0 \end{pmatrix}}_{\mathbf{M}^d} = \underbrace{\begin{pmatrix} m_{1,1} & m_{1,2} & \cdots & 0 \\ m_{2,1} & m_{2,2} & \cdots & 0 \\ \vdots & \vdots & \ddots & \vdots \\ 0 & 0 & \cdots & 0 \end{pmatrix}}_{\mathbf{M}^0} + \underbrace{\begin{pmatrix} 0 & 0 & \cdots & m_{1,|\mathcal{A}|+1} \\ 0 & 0 & \cdots & m_{2,|\mathcal{A}|+1} \\ \vdots & \vdots & \ddots & \vdots \\ 0 & 0 & \cdots & 0 \end{pmatrix}}_{\mathbf{U}^d}$$

- $V^d(d) = 0$ から、 $z^d_{|\mathcal{A}|+1} = e^{\frac{1}{\mu}V^d(d)} = e^0 = 1$ and

$$\mathbf{U}^d \mathbf{z}^d = \begin{pmatrix} 0 & 0 & \cdots & m_{1,|\mathcal{A}|+1} \\ 0 & 0 & \cdots & m_{2,|\mathcal{A}|+1} \\ \vdots & \vdots & \ddots & \vdots \\ 0 & 0 & \cdots & 0 \end{pmatrix} \begin{pmatrix} z^d_1 \\ z^d_2 \\ \vdots \\ z^d_{|\mathcal{A}|+1} \end{pmatrix} = \begin{pmatrix} m_{1,|\mathcal{A}|+1} \\ m_{2,|\mathcal{A}|+1} \\ \vdots \\ 0 \end{pmatrix}$$

以上から

行列 \mathbf{U}^d の最終列



$$\mathbf{z}^d = \mathbf{M}^d \mathbf{z}^d + \mathbf{b}^d = (\mathbf{M}^0 + \mathbf{U}^d) \mathbf{z}^d + \mathbf{b}^d = \mathbf{M}^0 \mathbf{z}^d + \mathbf{U}^d \mathbf{z}^d + \mathbf{b}^d = \mathbf{M}^0 \mathbf{z}^d + \mathbf{t}^d + \mathbf{b}^d$$

3. Decomposition method - DeC method

仮定1 $k \in A, a \in A(k), a \neq D$ のもとで、即時効用 $v(a|k)$ は独立かつ目的地 $d \in D$ に対して独立

→ 個人または目的地に固有の属性は存在しない

$$M^0 \text{は} \forall d \in D \text{において独立} \leftarrow M^0_{ka} = \begin{cases} M_{ka} = \begin{cases} e^{\frac{1}{\mu} v(a|k)} & \text{if } a \in A(k) \\ 0 & \text{otherwise} \end{cases} \\ 0 \end{cases}$$

- $(|\tilde{A}| + 1) \times |D|$ の行列 \mathbf{Z} を定義 と $(|\tilde{A}| + 1) \times |D|$ の行列 \mathbf{B} を定義

$$\mathbf{Z} = [z^{d_1}, z^{d_2}, \dots, z^{d_{|D|}}] \text{ for } \forall d \in D \quad \mathbf{B} = \mathbf{t}^d + \mathbf{b}^d \text{ for } \forall d \in D$$

- これにて以下の新しい連立一次方程式を得る

$$\mathbf{Z} = \mathbf{M}^0 \mathbf{Z} + \mathbf{B} \Leftrightarrow (\mathbf{I} - \mathbf{M}^0) \mathbf{Z} = \mathbf{B} \quad \dots (5)$$

- $\mathbf{I} - \mathbf{M}^0$ が可逆(逆行列を持つ)場合、一意の解 \mathbf{Z} を持つ
- $\mathbf{I} - \mathbf{M}^0$ が可逆となる条件は Fosgerau(2013) から拡張可能

- LL関数の勾配と Hessian 行列も、 \mathbf{Z} の Jacobian を導出することで得られる

ベクトル \mathbf{Z} はすべての目的地に対する全価値関数が含まれている

解決策 2 一次方程式(5)を1度だけ解けばよい → 計算時間コスト削減

→ 大規模NW・複雑なモデルへの適用可能性

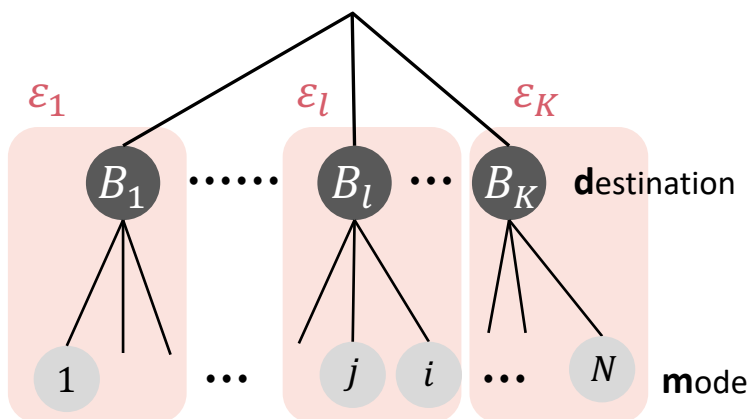
復習編 Nested Logit Model (NL)

= 2 種類のスケールパラメータを使った選択確率の記述

例) 交通手段選択

$$d = 1, 2, \dots, l, \dots, K$$

$$m = 1, 2, \dots, j, i, \dots, N$$



$$U_{dm} = V_d + V_m + V_{dm} + \varepsilon_d + \varepsilon_{dm}$$

U_{dm} : 選択肢(d, m)の真の効用

V_d : 目的地選択肢 d に特有な効用の確定項

V_m : 手段選択肢 m に特有な効用の確定項

V_{dm} : 選択肢(d, m)に特有な効用の確定項

ε_d : 目的地選択肢 d に特有な効用の確率項

→ スケールパラメータ μ_d の*i. i. d.*ガンベル分布に従う

ε_{dm} : 選択肢(d, m)に特有な効用の確率項

→ スケールパラメータ μ の*i. i. d.*ガンベル分布に従う

$$V'_d = \frac{1}{\mu} \ln \sum_{m'} \exp\{\mu(V_{m'} + V_{dm'})\}$$

$$\varepsilon'_d = \max_{m'} (V_m + V_{dm} - \varepsilon_{dm}) - V'_d$$

とにおいて、選択確率は

$$P(d, m) = \frac{\exp\{\mu(V_m + V_{dm})\}}{\sum_{m'} \exp\{\mu(V_{m'} + V_{dm'})\}} \cdot \frac{\exp\{\mu_d(V_d + V'_d)\}}{\sum_d \exp\{\mu_d(V_d + V'_d)\}}$$

スタートアップゼミ2022 #2 参照

番外編 NRLモデル (Mai et al. 2015 a)

RLモデル

解決 0 経路の選択肢集合が不明

課題 1 経路同士の相関 ← 不十分 !!! ※ LS 以外の要素に対して IIA 特性が残る

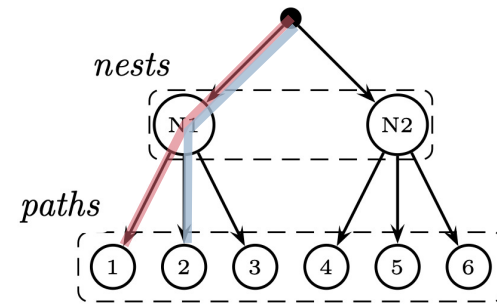
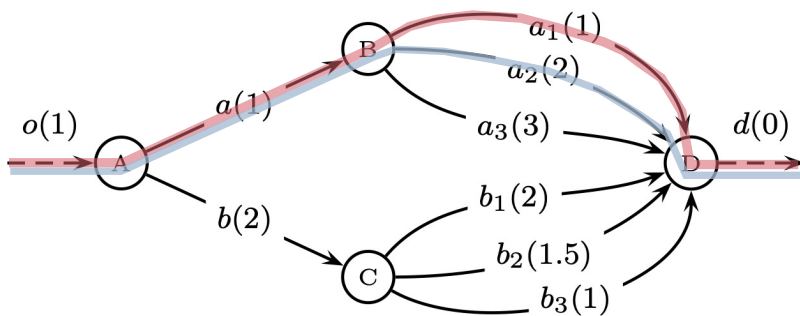
Nested RLモデル

スケールパラメータを各リンクに固有に与えることで IIA 特性を緩和 (= 選択確率が変化)

-Mai et al. 2015 の検証-

スケールパラメータの設定

$$\mu_a = 0.5 \quad \mu_b = 0.8 \quad \text{others } \mu = 1$$



- IIA 特性は緩和
- 代替のされ方は NW 構造に依存

Paths	Probabilities with link removed				
	Original	a ₁	a ₂	b ₁	b ₂
1 : [o,a,a ₁ ,d]	0.54 -		0.65	0.55	0.56
2 : [o,a,a ₂ ,d]	0.15	0.38 -		0.16	0.16
3 : [o,a,a ₃ ,e,d]	0.04	0.05	0.05	0.05	0.05
4 : [o,b,b ₁ ,e,d]	0.02	0.05	0.03 -		0.03
5 : [o,b,b ₂ ,d]	0.06	0.12	0.07	0.17 -	
6 : [o,b,b ₃ ,d]	0.17	0.33	0.2	0.18	0.21

4-2. 番外編 Mixed logit の定式化と理解

Mixed logit とは

- 誤差項に**正規分布**を仮定したプロビット系列のモデルと誤差項に**ガンベル分布**を仮定したモデルを組み合わせたもの
- MNLの選択確率のパラメータを確率分布によって扱うことで母集団内でのばらつきを表現

→ **誤差相関**や異分散性を表現可能

定式化

ω で評価されたロジット型確率式

$$L_{ni}(\omega) = \frac{e^{V_{ni}(\omega)}}{\sum_{j=1}^J e^{V_{nj}(\omega)}}$$

→ 選択確率

$$P_{ni} = \int L_{ni}(\omega) f(\omega) d\omega$$

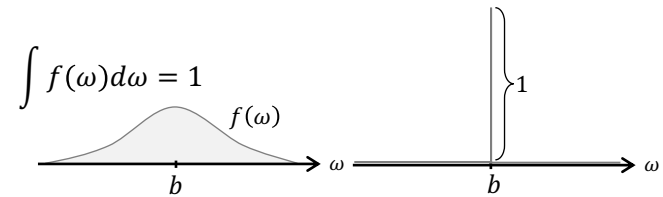
確率密度関数(=確率分布)

$V_{ni}(\omega)$: 効用の確定部分(ω の関数)

ω : ランダム係数

確率密度関数 $f(\omega)$

- $f(\omega)$ は離散、連続どちらもあり得る(ただし多くの場合で連続型を用いる)
※ 後述: $f(\omega)$ はパラメータ θ の関数 $f(\omega|\theta)$
- ω の平均を b とすると
 $f(\omega) = 1$ for $\omega = b, 0$ for $\omega \neq b$
となるとき、通常のロジットモデル



4-2.番外編 Mixed logit の定式化と理解

パラメータが個人 n によって異なる^{と考えるとき}

個人ごとに異なる ω_n (真の値) を実際に観測することはできない
→ 確率密度関数 $f(\omega)$ によって表現

→ 個人 n が J 個の選択肢から選択肢 j を選択したときの効用

$$U_{nj} = V_{nj} + \varepsilon_{nj} = \omega'_n x_{nj} + \varepsilon_{nj}$$

ω_n は個人によって異なる $\rightarrow f(\omega)$ に従って ω'_n となる、とおく

$$\left(\begin{array}{l} \text{cf. } \omega_n \text{ が定数 } \omega'_n \text{ であるとするれば確率式はロジットモデルと同様に} \\ \text{=パラメータが個人 } n \text{ で共通} \\ L_{ni}(\omega) = \frac{e^{\omega'_n x_{nj}}}{\sum_{j=1}^J e^{\omega'_n x_{nj}}} \text{ とかける。} \end{array} \right)$$

ω_n が $f(\omega)$ に従って変動するため ω に対して積分する必要がある、

選択確率は

$$P_{ni} = \int \left(\frac{e^{\omega'_n x_{ni}}}{\sum_{j=1}^J e^{\omega'_n x_{nj}}} \right) f(\omega) d\omega$$

Mixed logitにはIIA特性がない

$\frac{P_{ni}}{P_{nj}}$ は選択肢 i, j 以外を含む全データに依存

解決策 1 理論的には、Mixed logit型のRLを用いれば、**IIA特性を緩和可能**

4-2. 番外編 Mixed logit と Error Component ; 誤差相関

異なる選択肢間の誤差項の相関を考える場合

課題 1 2つの経路は無関係に独立???



$$U_{nj} = \alpha'x_{nj} + \mu'_n z_{nj} + \varepsilon_{nj}$$

x_{nj}, z_{nj} : j に関する観測値ベクトル

α : 固定された係数ベクトル

μ_n : 平均0の変動する係数ベクトル

ε_{nj} : *i.i.d.*の誤差項

効用関数は、

$$U_{nj} = \alpha'x_{nj} + \sum_{k=1}^K \mu_{nk} d_{jk} + \varepsilon_{nj}$$

Nested Logit の考え方

ネスト構造を表現するダミー変数

$$\mu'_n z_{nj} = \sum_{k=1}^K \mu_{nk} d_{jk}$$

$$d_{jk} = \begin{cases} 1 & \text{選択肢 } j \text{ がネスト } k \text{ に含まれる} \\ 0 & \text{選択肢 } j \text{ がネスト } k \text{ に含まれない} \end{cases}$$

$$\mu_{nk} \sim N(0, \sigma_k)$$

4-2. 番外編 Mixed logit と Error Component ; 誤差相関

異なる選択肢間の誤差項の相関を考える場合

$$U_{nj} = \alpha' x_{nj} + \mu'_n z_{nj} + \varepsilon_{nj} \xrightarrow{\text{NL Analogy}} U_{nj} = \alpha' x_{nj} + \sum_{k=1}^K \mu_{nk} d_{jk} + \varepsilon_{nj}$$

$\mu_{nk} \sim N(0, \sigma_k)$

z_{nj} も誤差項なので、
 ε_{nj} とまとめて効用の確率項 η_{nj} とおく

$$\eta_{nj} = \mu'_n z_{nj} + \varepsilon_{nj}$$

選択肢 i と選択肢 j の誤差相関は

$$\text{Cov}(\eta_{ni}, \eta_{nj}) = E(\mu'_n z_{ni} + \varepsilon_{ni})(\mu'_n z_{nj} + \varepsilon_{nj}) \longrightarrow \text{Cov}(\eta_{ni}, \eta_{nj}) = E(\mu_{nk} + \varepsilon_{ni})(\mu_{nk} + \varepsilon_{nj}) = \sigma_k$$

ネスト k に含まれる選択肢の共分散は

$$\text{Var}(\eta_{ni}) = E(\mu_{nk} + \varepsilon_{ni})^2 = \sigma_k + \frac{\pi^2}{6}$$

ネスト k 内の相関係数

$$\frac{\sigma_k}{\sigma_k + \frac{\pi^2}{6}} \quad : \quad \text{ネスト } k \text{ に依存}$$

各ネストの誤差項の分散が等しい場合は
 $\sigma_k = \sigma \text{ for } k = 1, 2, \dots, K$

$$\frac{\sigma}{\sigma + \frac{\pi^2}{6}} = \text{Const.}$$

4. Mixed Recursive Logit Model

混合型 再帰的 ロジット

- 経路 $\sigma = \{k_i\}_{i=0}^J = \{k_0, k_1, \dots, k_J\}$ の選択確率

$$P(\sigma; \beta) = e^{-v^d(k_0; \beta)} \prod_{i=1}^J e^{v(k_{i+1}|k_i; \beta)}$$

- Mixed (MN)L の枠組みでは確定項 $v(k_{i+1}|k_i; \beta)$ 自体がランダムな要素を含む

$$P(\sigma; \theta) = E_{\omega} [P(\sigma; \beta)] = \int P(\sigma; \theta, \omega) f(\omega) d\omega \quad \dots (6) \quad (\beta = \beta(\theta, \omega))$$

例： β が K 次元の正規分布のランダムベクトルの場合

$$\omega = (\omega_1, \dots, \omega_K) \text{ with } \omega_i \sim N(0, 1)$$

θ で β の平均 (means) ・ 標準偏差 (SD : Standard Deviation) を決定

$$\left\{ \begin{array}{l} f(\cdot) : \text{確率密度} \\ \theta : \text{LL関数(対数尤度関数)最大化によって推定されるパラメータ} \end{array} \right.$$

- 経路選択結果の観測集合 $n = 1, 2, \dots, N$ に対して、 $LL(\theta) = \frac{1}{N} \sum_{n=1}^N \ln P(\sigma_n; \theta)$

個体 n あたり 1 つの多次元積分 = 解析解は得られない

→ 求積法 or シミュレーションによって 数値的に近似 する

課題 2 複雑なモデル において計算コストが膨大過ぎる

4. Mixed Recursive Logit Model

再掲： $P(\sigma; \theta) = E_{\omega}[P(\sigma; \beta)] = \int P(\sigma; \theta, \omega) f(\omega) d\omega \dots (6)$

- 数値的に近似すると (求積法 or シミュレーション法)

$$\tilde{P}_{R_n}(\sigma_n; \theta) = \sum_{i=1}^{R_n} v_{n,i} P(\sigma_n; \theta, \omega_{n,i}) \dots (7)$$

$\omega_{n,i}$: 数値積分の分点
 $v_{n,i}$: 数値積分の重み

- 特にモンテカルロ法では、積分分点 $\omega_{n,i}$ は ω の分布からランダムに描かれる

$$\tilde{P}_{R_n}(\sigma_n; \theta) = \frac{1}{R_n} \sum_{i=1}^{R_n} P(\sigma_n; \theta, \omega_{n,i}) \dots (8)$$

※ モンテカルロ法では抽選数 $R_n \rightarrow \infty$ で真の最尤推定値に収束する (Bastin et al. 2006)

- DeC法は(7)の形の任意の近似に適用可能
- ただしDeC法の最大の強みである「**解くべき線形システムを1本にする**」を満たすため以下の条件で制限

条件：積分分点は観測経路 n に関わらず共通

$$R_n \equiv R, \quad v_{n,i} \equiv v_i, \quad \omega_{n,i} \equiv \omega_i, \quad n = 1, 2, \dots, N$$

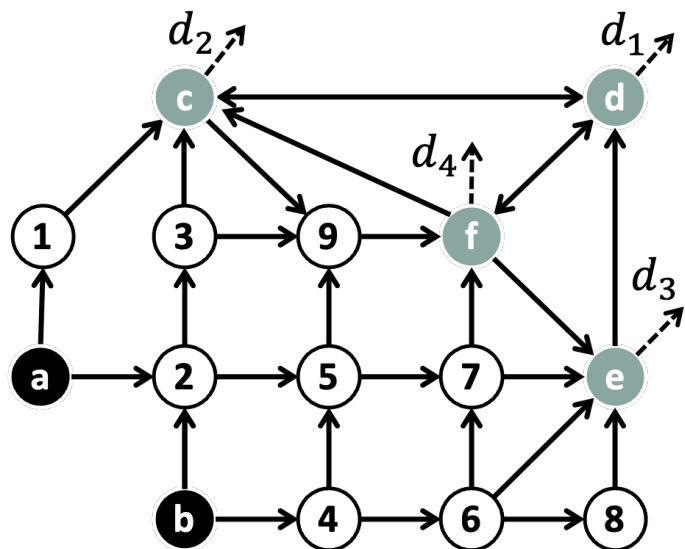
※ 選択確率のシミュレーション・バイアスは $R \rightarrow \infty$ で $|\tilde{P}_{R_n}(\sigma_n; \theta) - \tilde{P}_{R_m}(\sigma_m; \theta)| \rightarrow 0$ (証明は論文中) → 検証

力不足

解決策 2 Mixed RL モデル では異なる積分分点ごとに線形システム(5)を解く必要 → 計算コスト **膨大**

解決策 2^α + 積分分点が観測経路 n 間でみな同じであるという条件 → 解くべき一次方程式を1つに

4-1. Mixed Recursive Logit Model - IRNとCRNの比較実験



2つの起点ノード：{a, b}

4つの目的地ノード：{d, c, e, f}

8つの観測ODペア

8つの観測ODペア各々に5つの経路→40経路

$TT(a)$ ：リンク a の移動時間 ($[0,1]$)

- シミュレーションにおける乱数生成方法

IRL (independent random numbers)

= 観測OD毎に $\omega_{n,i}$ を独立に抽選 (既往研究)

CRL (common random numbers)

= 観測OD共通のセットで抽選 ($\omega_{n,i} \equiv \omega_i$) (提案)

- 即時効用 $u(a|k) = \beta_1 TT(a) + \beta_2 + \varepsilon(a)$

β_1, β_2 : 正規分布 ε : i.i.d.ガンベル

$\beta_1 \sim N(\theta_{TT}, \sigma_{TT}^2)$ $\beta_2 \sim N(0, \sigma^2)$

- モンテカルロドロローを50、200、1000回で比較
- 100回の独立した推定の平均値を推定値として採用

実験結果

1. 抽選回数が十分に大 (1000回) → 5%の有意水準で最終尤度はIRNとCRNで有意な差はない
→ **CRNは標準的なIRNに代わる方法**
2. **DeC法は計算時間を10~50倍も短縮 (高速化)**

※ IRN→CRNはLL計算コストに影響微小 (最適化アルゴリズムの反復回数をわずかに削減するのみ)

課題整理

～4章

複雑なモデル

課題 1 → 解決策 1 Mixed RLモデル の採用 → IIA特性が緩和

理論的に可能

課題 2 → 解決策 2^{+α} Decomposition method (DeC method) を提案 → 簡易NWで高速化を確認

実際に可能？

複雑な実際のデータ（複雑なNW・膨大な観測OD）で計算コスト的に推定可能？
複雑なモデル（Mixed RL モデル）で計算コスト的に推定可能 ??? 推定精度は??

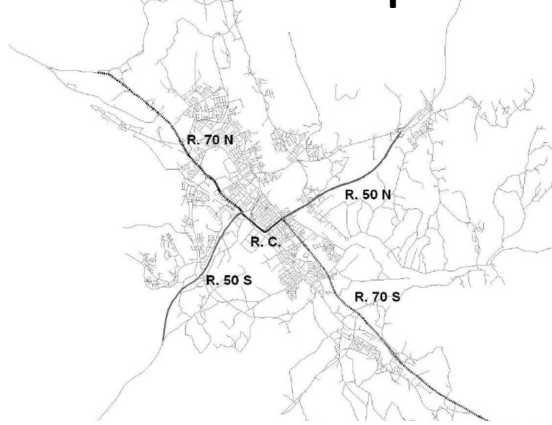
5章 + 6章 複雑な実際の Data setにおけるMixed RLモデルを用いた推定

		Data set 1 Car	Data set 2 Bicycle		
ネットワーク	リンク数	7459	42,372		
	ノード数	3077	16,352		
サンプル	経路数	21,452	127,001		
	目的地	1832	648		
モデルパラメータ数		4	14		
Estimation method		DeC	Original	DeC	Original
計算時間 (sec)	価値関数	2	90	10	235
	LL及び勾配計算	10	284	54	1605
	総推定時間	230	6670	4824	144,110

約30倍高速

6-1. Mixed RLモデルに対するDeC法の計算結果 -モデルの仕様

5 subnetwork components



Borlänge Road Network and **Subnetwork Definition** (Frejinger and Bierlaire, 2007)

$TT(a)$: リンク a の移動時間

$LT(a|k)$: 左旋回ダミー (リンク a から k への旋回角度 α_{LT} が $40^\circ < \alpha_{LT} < 177^\circ \rightarrow 1$)

$UT(a|k)$: Uターンダミー (リンク a から k への旋回角度 α_{LT} が $\alpha_{LT} > 177^\circ \rightarrow 1$)

$LC(a)$: リンク定数 (本実験ではすべてのリンクで1と設定)

$LS(a)$: リンクサイズ (Fosgerau:2013)

$\varepsilon(a) \sim i.i.d.$ ガンベル

$$\beta_{TT}^* \sim N(\mu_{TT}, \sigma_{TT}^2)$$

$$\zeta \sim N(0, 1)$$

$$F(a)_q$$

size=5のvector
 q : subnetwork

$$F(a)_q = \begin{cases} 0 & \text{if } a \notin q \\ \sqrt{TT(a)} & \text{otherwise} \end{cases}$$

$$T(\sigma) = \text{diag}(\sigma_{R.50N}, \sigma_{R.50S}, \sigma_{R.70N}, \sigma_{R.70S}, \sigma_{R.C})$$

$$\sigma = \{\sigma_{R.50N}, \sigma_{R.50S}, \sigma_{R.70N}, \sigma_{R.70S}, \sigma_{R.C}\}$$

● RL

$$u^{RL}(a|k; \beta) = \beta_{TT} TT(a) + \beta_{LT} LT(a|k) + \beta_{LC} LC(a) + \beta_{UT} UT(a|k) + \varepsilon(a)$$

● RL with LS属性 ; RL-LS

$$u^{RL \cdot LS}(a|k; \beta) = \beta_{TT} TT(a) + \beta_{LT} LT(a|k) + \beta_{LC} LC(a) + \beta_{UT} UT(a|k) + \beta_{LS} LS(a) + \varepsilon(a)$$

● Mixed RL with random parameters ; MRL-RP

$$u_{RP}^{MRL}(a|k; \beta) = \beta_{TT}^* TT(a) + \beta_{LT} LT(a|k) + \beta_{LC} LC(a) + \beta_{UT} UT(a|k) + \varepsilon(a)$$

● Mixed RL with EC ; MRL-EC

$$u_{EC}^{MRL}(a|k; \beta, \sigma) = \beta_{TT} TT(a) + \beta_{LT} LT(a|k) + \beta_{LC} LC(a) + \beta_{UT} UT(a|k) + F(a)^T T(\sigma) \zeta + \varepsilon(a)$$

● Mixed RL with EC and random parameters ; MRL-REC

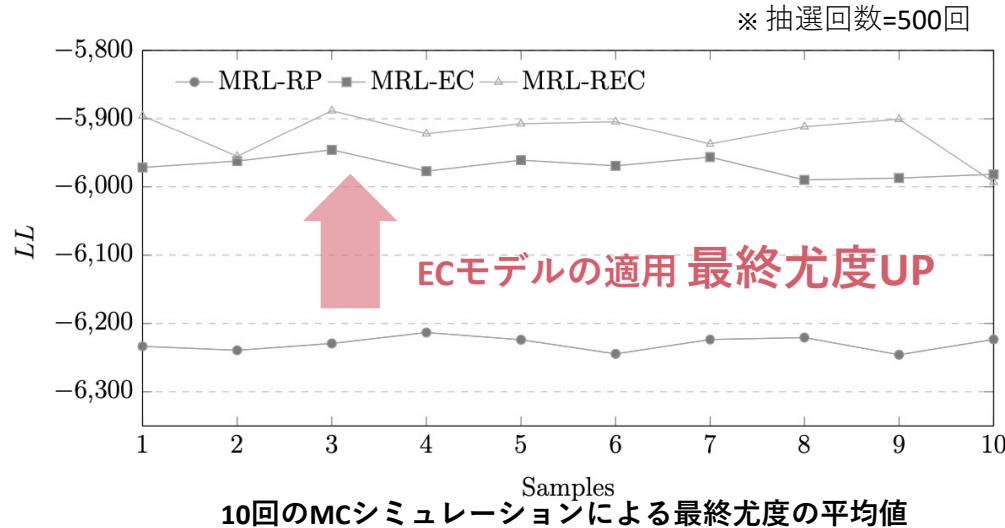
$$u_{REC}^{MRL}(a|k; \beta, \sigma) = \beta_{TT}^* TT(a) + \beta_{LT} LT(a|k) + \beta_{LC} LC(a) + \beta_{UT} UT(a|k) + F(a)^T T(\sigma) \zeta + \varepsilon(a)$$

6-2. Mixed RLモデルに対するDeC法の計算結果 -適合度検証

複雑な実際のデータ（複雑なNW・膨大な観測OD）で計算コスト的に推定可能?
複雑なモデル（Mixed RLモデル）で計算コスト的に推定可能?? 推定精度は??

計算コスト

DeCを用いない場合数ヶ月かかるMixed RLモデルを用いた推定が**3-5日程度で可能** = **実際に可能**



尤度比検定の結果

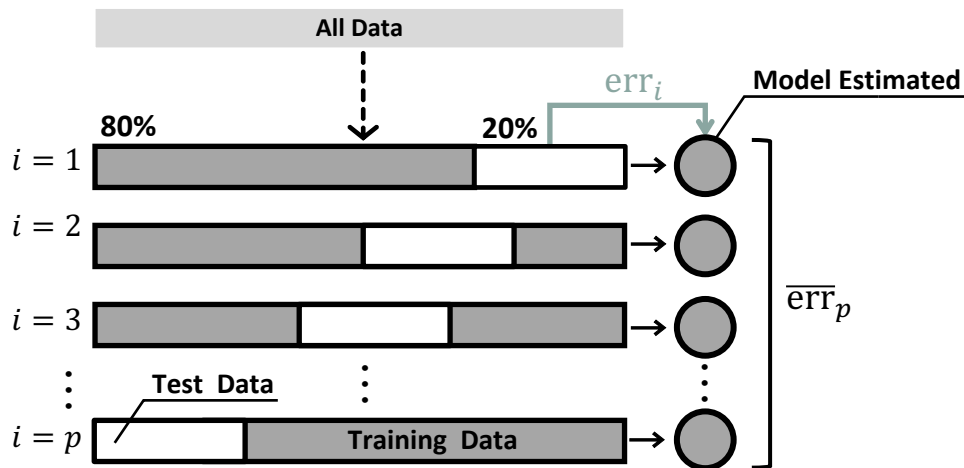
Models	χ^2	p value
RL & MRL-RP	148.42	3.84e-34
RL & MRL-EC	667.22	6.00e-142
MRL-RP & MRL-REC	616.16	6.52e-131
MRL-EC & MRL-REC	97.36	5.78e-23

適合度検証

尤度比検定の結果から、Mixed RLモデルはRLモデルよりも**適合度が高い**

6-3. Mixed RLモデルに対するDeC法の計算結果 - 予測性能

● クロスバリデーションによる予測性能比較

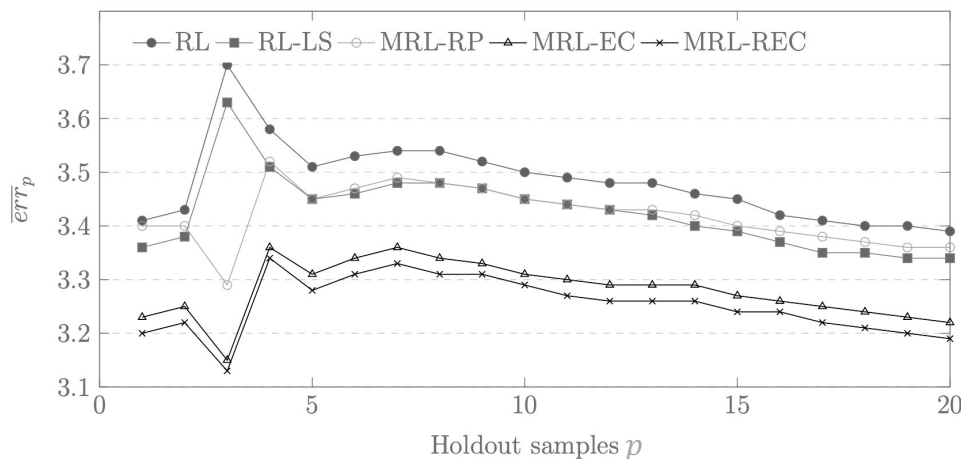


- 検定誤差 ※ $|PS_i|$: サンプルサイズ

$$err_i = -\frac{1}{|PS_i|} \sum_{\sigma_j \in PS_i} \ln \tilde{P}^R(\sigma_j, \hat{\theta}_i) \quad 1 \leq i \leq 20$$

- 検定誤差の平均値

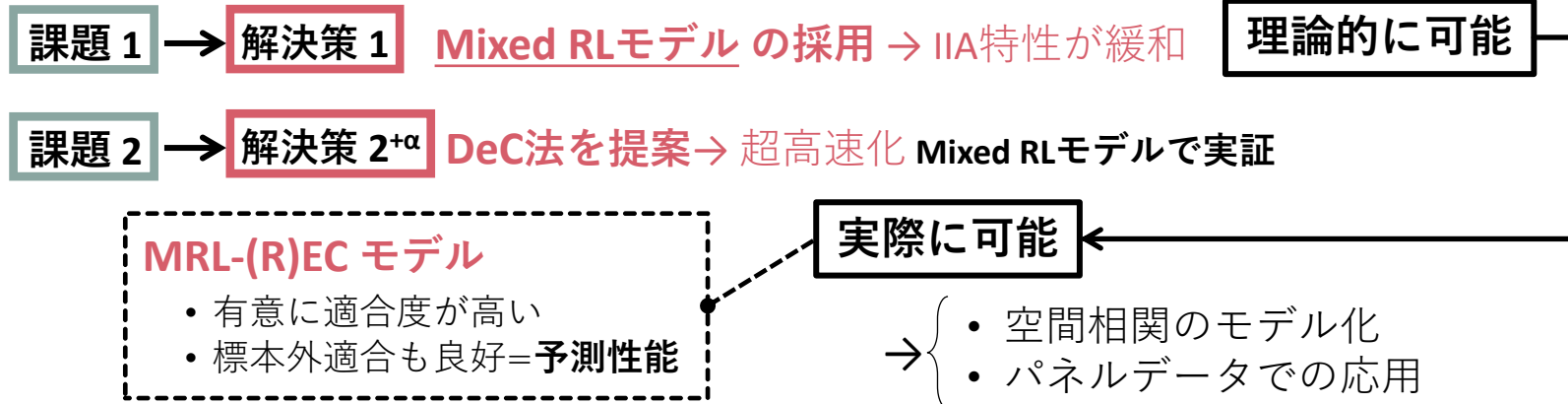
$$\overline{err}_p = \frac{1}{p} \sum_{i=1}^p err_i \quad \forall 1 \leq p \leq 20$$



- Mixed RLモデルはRLモデルよりも**予測性能**が優れている
- 特に**MRL-(R)ECモデル**は他のモデルに比較して
 - ・ サンプル内適合度が著しく高い
 - ・ サンプル外適合度も高い

7. まとめと課題の整理

本論文の成果まとめ



課題の整理

- **個人や目的地の異質性に対応できない**
 - DeC法適用のための“条件”(p.16参照)を設定しているため
 - 属性が目的地固有の場合 例:LS属性
 - 効用が旅行者の特性に依存する場合 例:年齢、収入etc.
 - * 個人の異質性の考慮は行動原理の重要事項なので致命的では?
 - * 属性が各クラスで個々に独立であるようにグループ化し、各クラスにDeC法を適用
- **多変量極限分布の誤差項を持つモデルには未対応**
 - 価値関数がそもそも線形方程式の形ではなく、DeC法を適用できない

RL model と 経路相関

[1]夏学期ゼミ2021 #8 発表資料 <http://bin.t.u-tokyo.ac.jp/szemi21/#6-2>

[2]理論輪読会2020 #5-2 発表資料 <http://bin.t.u-tokyo.ac.jp/rzemi20/#5-2>

Nested RL model

[3]夏の理論合宿2018 #1-5 発表資料 <http://bin.t.u-tokyo.ac.jp/summercamp2018/>

[4]理論談話会2016 #4-1 発表資料 <http://bin.t.u-tokyo.ac.jp/rzemi16/>

[5] Mai, T., Fosgerau, M., & Frejinger, E. (2015). A nested recursive logit model for route choice analysis. *Transportation Research Part B: Methodological*, 75, 100-112.

[6]理論談話会2015 #6 発表資料 http://bin.t.u-tokyo.ac.jp/rzemi15/file/6_miki.pdf

クロスバリデーション

[7] 【AI・機械学習】 ホールドアウト検証とK分割交差検証(K-foldクロスバリデーション) | モデル性能の評価
<https://di-acc2.com/analytics/ai/6498/>